

В.В. Андреев¹, В.Ю. Гавриш², А.Ф. Крутов³

¹УО «Гомельский государственный университет имени Франциска Скорины», Гомель, Беларусь

²УО «Гомельский государственный технический университет имени П.О. Сухого», Гомель, Беларусь

³Самарский университет, Самара, Россия

ЭЛЕКТРОМАГНИТНЫЙ ФОРМ-ФАКТОР ПЕРЕХОДА $\omega \rightarrow \pi^0 \ell^+ \ell^-$ В РЕЛЯТИВИСТСКОЙ КВАРКОВОЙ МОДЕЛИ

Введение

С появлением современных экспериментальных данных по распадам псевдоскалярных и векторных мезонов [1-3] возродился интерес к изучению радиационных переходов легких адронов. Такие распады, как $V \rightarrow P\gamma$ и $V \rightarrow P\ell^+\ell^-$ наиболее удобны для апробации различных подходов и моделей: очевидно, что такие распады имеют простейший механизм взаимодействия конститuentных кварков, и, как следствие, являются более удобным полигоном для исследования кваркового взаимодействия, чем адронные переходы псевдоскалярных и векторных мезонов. Из указанного следует, что такие процессы позволяют получить численную оценку не только различных форм-факторов адронов, но и оценить углы смешивания, а также дать численные расчеты по структуре кварков, входящих в мезон. Данная проблема особенно актуальна для мезонов легкого сектора, поскольку такие системы являются чисто релятивистскими, что позволяет оценить магнитные моменты кварков с высокой точностью.

Среди разнообразия подходов и моделей, служащих для описания релятивистских кварковых систем, особое место занимают модели, основанные на алгебре Пуанкаре: данные модели называют пуанкаре-ковариантными или релятивистскими моделями прямого взаимодействия частиц.

Из трех форм пуанкаре-инвариантной квантовой механики (ПиКМ) для решения задач по расчету наблюдаемых радиационных переходов, наиболее используемой, в силу особенностей коммутационных соотношений генераторов с взаимодействием и без него, является динамика на световом фронте. В работах, посвященных радиационным распадам, тем не менее, кварк полагается бесструктурной частицей, в отличие от мгновенной формы динамики, где в работах было показано, что для совпадения расчетов с экспериментальными

данными необходимо учитывать аномальный магнитный момент кварка. Данная идея не нова, поскольку в работах по анализу барионных наблюдаемых были введены аномальные магнитные моменты.

Из большого количества работ, посвященных использованию пункаре-инвариантной механики, из трех форм ПиКМ, точечная форма динамики менее используется для расчетов экспериментальных характеристик мезонов. Несмотря на развитый математический аппарат по расчету электромагнитных форм-факторов мезонов и успешное применение для расчета барионных наблюдаемых в рамках точечной формы ПиКМ, существенные отличия для мезонов легкого сектора повлекло к появлению различных модификаций данной формы (см. [4, 5]). Из указанного выше следует, что развитие данной формы динамики с последующим применением для расчетов наблюдаемых переходов является актуальной задачей физики связанных состояний.

В данной работе, авторы, используя разработанную методику расчета наблюдаемых в точечной форме ПиКМ и полученные параметры модели, изучают поведение форм-факторов легких нейтральных мезонов. Отметим, что параметры модели в данной статье не анализируются: статья носит вычислительный характер. В разделе 1 авторы резюмируют полученные ранее параметры модели, в разделе 2 кратко обсуждается схемы смешивания легких нейтральных мезонов, в разделе 3 – получено поведение форм-фактора

для распада $\omega \rightarrow \pi^0 \ell^+ \ell^-$ при различных переданных импульсах лептонной паре q .

1. Параметры модели, основанной на точечной форме ПиКМ

Процедура получения параметров модели с использованием интегральных представлений распадов $P \rightarrow \ell \nu_\ell$, $V \rightarrow \ell^+ \ell^-$ и константы псевдоскалярной плотности g_p подробно изложена в [6], поэтому в данной работе приведем полученные результаты для осцилляторной волновой функции

$$\Phi(k, \beta_{q\bar{Q}}^I) = \frac{2}{\pi^{1/4} (\beta_{q\bar{Q}}^I)^{3/2}} \exp\left[-\frac{k^2}{2(\beta_{q\bar{Q}}^I)^2}\right], \quad I = P, V : \quad (1.1)$$

$$\begin{aligned} m_u &= (219,48 \pm 9,69) \text{ МэВ}, \quad m_d = (221,97 \pm 9,69) \text{ МэВ}, \quad m_s = (416,95 \pm 61,2) \text{ МэВ}, \\ \beta_{u\bar{d}}^P &= (367,93 \pm 25,10) \text{ МэВ}, \quad \beta_{u\bar{d}}^V = (311,95 \pm 2,14) \text{ МэВ}, \\ \beta_{u\bar{s}}^P &= (375,53 \pm 19,66) \text{ МэВ}, \quad \beta_{u\bar{s}}^V = (313,62 \pm 24,22) \text{ МэВ}. \end{aligned} \quad (1.2)$$

Для дальнейших вычислений, полагая, что изотопическая симметрия кварков u и d слабо нарушена, имеем

$$\beta_{u\bar{u}}^V = \beta_{u\bar{d}}^V - \Delta\beta_{u\bar{d}}, \quad \beta_{d\bar{d}}^V = \beta_{u\bar{d}}^V + \Delta\beta_{u\bar{d}}, \quad \beta_{d\bar{s}}^V = \beta_{u\bar{s}}^V + \Delta\beta_{u\bar{d}}, \quad \beta_{d\bar{s}}^P = \beta_{u\bar{s}}^P + \Delta\beta_{u\bar{d}}, \quad (1.3)$$

где $\Delta\beta_{u\bar{d}} = m_d - m_u = (2,5 \pm 0,2)$ МэВ.

Полученные результаты расчетов были проанализированы в работе [6], поэтому мы сразу переходим к описанию процедуры смешивания векторных мезонов.

2. Схемы смешивания векторных мезонов

В физических приложениях наиболее часто используются следующие схемы базисы для смешивания:

$$\begin{cases} \psi_1 = \frac{1}{\sqrt{2}}|u\bar{u} - d\bar{d}\rangle, \\ \psi_2 = \frac{1}{\sqrt{2}}|u\bar{u} + d\bar{d}\rangle, \\ \psi_s = |s\bar{s}\rangle \end{cases} \quad \text{И} \quad \begin{cases} \psi_1 = \frac{1}{\sqrt{2}}|u\bar{u} - d\bar{d}\rangle, \\ \psi_8 = \frac{1}{\sqrt{6}}|u\bar{u} + d\bar{d} - 2s\bar{s}\rangle, \\ \psi_s = \frac{1}{\sqrt{3}}|u\bar{u} + d\bar{d} + s\bar{s}\rangle. \end{cases} \quad (2.1)$$

В данной работе предполагается, что оба базиса дают эквивалентное описание смешивания кварковых состояний в векторных мезонах.

В итоге состояния векторных мезонов определяются выражениями:

$$\begin{cases} |\phi\rangle = \cos\phi_V \psi_q - \sin\phi_V \psi_8 = \cos\theta_V \psi_8 - \sin\theta_V \psi_1, \\ |\omega\rangle = \sin\phi_V \psi_q + \cos\phi_V \psi_8 = \sin\theta_V \psi_8 + \cos\theta_V \psi_1, \\ |\rho^0\rangle = \psi_1, \end{cases} \quad (2.2)$$

где углы смешивания ϕ_V и θ_V связаны соотношением

$$\theta_V = \phi_V - \arctan\sqrt{2}. \quad (2.3)$$

3. Моделирование поведения форм-фактора $\omega \rightarrow \pi^0 \ell^+ \ell^-$

Процедура получения интегрального представления константы распада $V \rightarrow P\gamma^*$ подробно изложена в [10], поэтому здесь мы приведем только конечное выражение:

$$\begin{aligned} g_{VP\gamma^*}(q^2) = & \frac{1}{4\pi} \sum_{v_1, v_1'} \int dk \sqrt{\frac{3+4v_1(\lambda_V - v_1)}{4}} \frac{v_1'}{\sqrt{M_0(k)}} \Phi(k, \beta_{q\bar{Q}}^V) \sqrt{\frac{1}{\omega_{m_q}(k)\omega_Q(k)}} \times \\ & \times \left(e_q \sqrt{\frac{\omega_{m_Q}(k_2)}{\omega_{m_q}(k_2)}} \bar{u}_{v_1'}(k_2, m_q) B(v_Q) (K^*(\lambda_V) \cdot \Gamma_q) u_{v_1}(k, m_q) \frac{1}{\sqrt{\omega_{12}^2(k, t) - 1}} \frac{\Phi^*(k_2, \beta_{q\bar{Q}}^P)}{\sqrt{M_0(k_2)}} \right) \times \\ & \times D_{-v_1', \lambda_V - v_1}(n_{W_2}(k, v_Q)) \frac{1}{\sqrt{\omega_{12}^2(k, t) - 1}} \frac{\Phi^*(k_2, \beta_{q\bar{Q}}^P)}{\sqrt{M_0(k_2)}} D_{-v_1', \lambda_V - v_1}(n_{W_2}(k, v_Q)) + e_{\bar{Q}} \sqrt{\frac{\omega_{m_q}(k_1)}{\omega_{m_{\bar{Q}}}(k_1)}} \times \\ & \times \bar{v}_{\lambda_V - v_1}(k, m_{\bar{Q}}) B(-v_Q) (K^*(\lambda_V) \cdot \Gamma_{\bar{Q}}) v_{-v_1'}(k_1, m_{\bar{Q}}) \times \frac{1}{\sqrt{\omega_{12}^2(k, t) - 1}} \frac{\Phi^*(k_1, \beta_{q\bar{Q}}^P)}{\sqrt{M_0(k_1)}} D_{v_1, v_1}(n_{W_1}(k, v_Q)) \end{aligned} \quad (3.1)$$

В выражении (3.1)

$$\begin{aligned} \nu_Q &= \frac{V_Q}{V_0}, n_{W_{2,1}}(k, \nu_Q) = -\frac{[k \times V_Q]}{\omega_{m_{q,\bar{Q}}}(k) + m_{q,\bar{Q}} - (kV_Q)}, \\ \Gamma_{q,\bar{Q}} &= F_1(q^2)\gamma^\mu + \frac{1}{2m_{q,\bar{Q}}}F_2(q^2)\sigma^{\mu\nu}q_\nu, K(\lambda_\nu) = \sqrt{\frac{\varpi_{12}(k,t)-1}{2}}\{0, \lambda_\nu, i, 0\}, \\ k_{1,2} &= k \pm \nu_Q\left((\varpi_{12}(k,t)+1)\omega_{m_{q,\bar{Q}}}(k) - k\sqrt{\varpi_{12}^2(k,t)-1}\cos\theta_k\right), \end{aligned} \quad (3.2)$$

где $q^2 = t = (Q-Q')^2$. Используя параметризацию форм-факторов [11]

$$F_1(q^2) = \frac{e_q}{1 - \frac{a}{6m_q^2}t}, F_2(q^2) = \frac{e_q \kappa_q}{\left(1 - \frac{a}{12m_q^2}t\right)^2}, \quad (3.3)$$

получаем поведение $\left|\frac{g_{VP\gamma^*}(q^2)}{g_{VP\gamma}(0)}\right|^2$ для распада $\omega \rightarrow \pi^0 \ell^+ \ell^-$ при различных значениях переданного импульса q , представленное на рисунке 1.

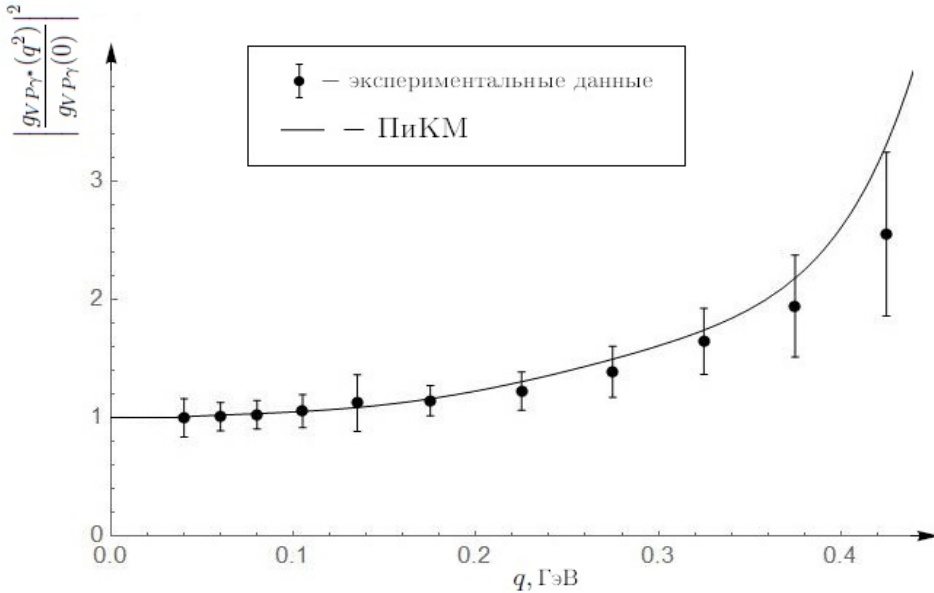


Рисунок 1 – Поведение форм-фактора распада $\omega \rightarrow \pi^0 \ell^+ \ell^-$ при различных q . Экспериментальные данные взяты из [3]

Значение параметра a в (3.3) принимаем $a=0,3$, как и в работе [11]; угол смешивания векторных мезонов, следуя [7], при расчетах принимался равным $\theta_\nu = (31,92 \pm 0,2)^\circ$. Исходя из вычислений, очевидно, что для $q \in [0, 0,45)$ ГэВ предложенная в работе релятивистская кварковая модель удовлетворительно описывает современные экспериментальные данные.

Заключение

В ходе работы было изучено поведение константы распада $V \rightarrow P\gamma^*$ в точечной форме ПиКМ. Сравнительный анализ показывает, что полученное в рамках релятивистской кварковой модели поведение форм-фактора $\left| \frac{g_{VP\gamma^*}(q^2)}{g_{VP\gamma}(0)} \right|^2$ описывает современные экспериментальные данные, что делает предложенную модель самосогласованной: полученное в работе поведение форм-факторов согласуется с экспериментом при параметрах модели, описывающие радиационные и лептонные распады легких мезонов.

Работа выполнена при поддержке Белорусского Республиканского фонда Фундаментальных Исследований.

Литература

1. Babusci, D. Study of the Dalitz decay $\phi \rightarrow \pi^0 e^+ e^-$ with the KLOE detector / D. Babusci, I. Balwierz-Pytkog, G. Bencivenni [and etc.] // Phys. Lett. B. – 2015. – Vol. 742. – P. 1–6.
2. Anastasi, A. Measurement of the $\phi \rightarrow \pi^0 e^+ e^-$ transition form factor with the KLOE detector / A. Anastasi [KLOE] // Phys. Lett. B. – 2016. – Vol. 752. – P. 362–367.
3. Adlarson, P. Measurement of the $\omega \rightarrow \pi^0 e^+ e^-$ and $\eta \rightarrow e^+ e^-$ Dalitz decays with the A2 setup at MAMI / P. Adlarson [MAMI] // Phys. Rev. C. – 2017. – Vol. 95. – P. 035208.
4. Desplanques, B. Dirac's inspired point form and hadron form factors / B. Desplanques // Nuclear Physics A. – 2005. – Vol. 755. – P. 303–306.
5. Melde, T. Spectator-model operators in point-form relativistic quantum mechanics / T. Melde, L. Canton, W. Plessas, R. F. Wagenbrunn // Eur. Phys. J. A. – 2005. – Vol. 25. – P. 97–105.
6. Andreev, V. Constituent quark masses in Poincaré-invariant quantum mechanics / V. Andreev, V. Haurysh // J. Phys. Conf. Ser. – 2016. – Vol. 938. – P. 012030.
7. Amelino-C. G. Physics with the KLOE-2 experiment at the upgraded DAFNE / G. Amelino-Camelia [KLOE] // Eur. Phys. J. – 2010. – Vol. C68. – P. 619–681.
8. Ambrosino, F. Measurement of the pseudoscalar mixing angle and eta-prime gluonium content with KLOE detector / F. Ambrosino [KLOE] // Phys. Lett. – 2007. – Vol. B648. – P. 267–273.
9. Feldmann, T. Mixing and decay constants of pseudoscalar mesons:

The Sequel / T. Feldmann, P. Kroll, B. Stech // Phys. Lett. – 1999. – V. B449. – P. 339–346.

10. Andreev, V. Radiative decays of light vector mesons in Poincare invariant quantum mechanics/ V. Andreev, V. Haurysh // J. Phys. Conf. Ser. – 2016. – Vol. 678. – P. 012041.

11. Petronzio, R. Possible evidence of extended objects inside the proton/ R. Petronzio, S. Simula, G. Ricco // Phys. Rev. D. – 2003. – Vol. 67. – P. 094004.